

<必ずお読みください>

- **本ファイルのデータの利用等についての注意事項**

- 本ファイルを基に加工・作成を行った資料等について、科学技術・学術政策研究所は一切責任を持ちません。

- **本ファイルの出典の記述方法**

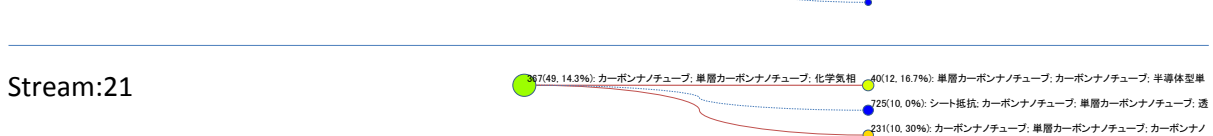
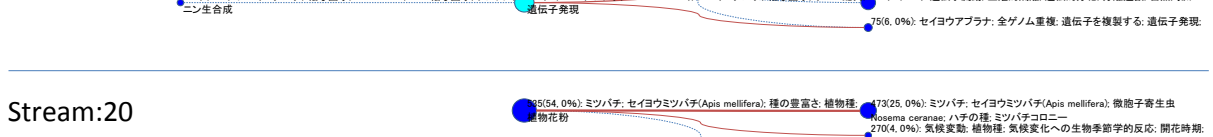
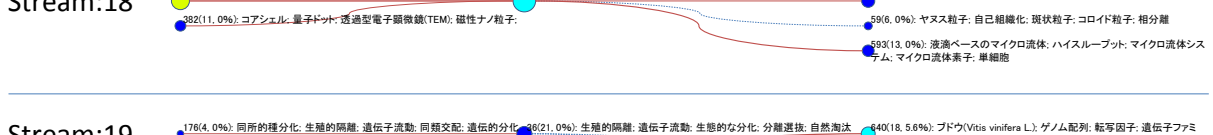
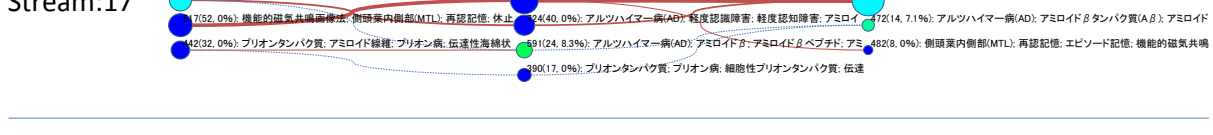
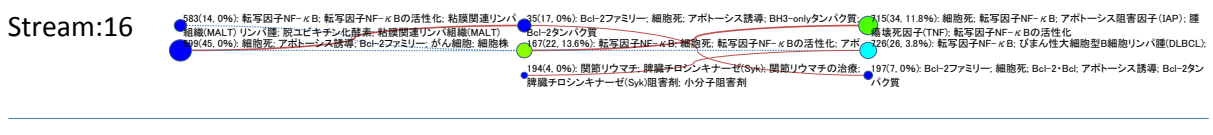
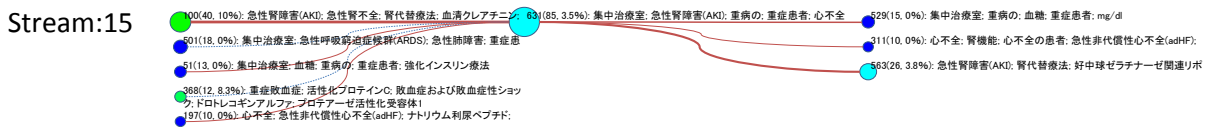
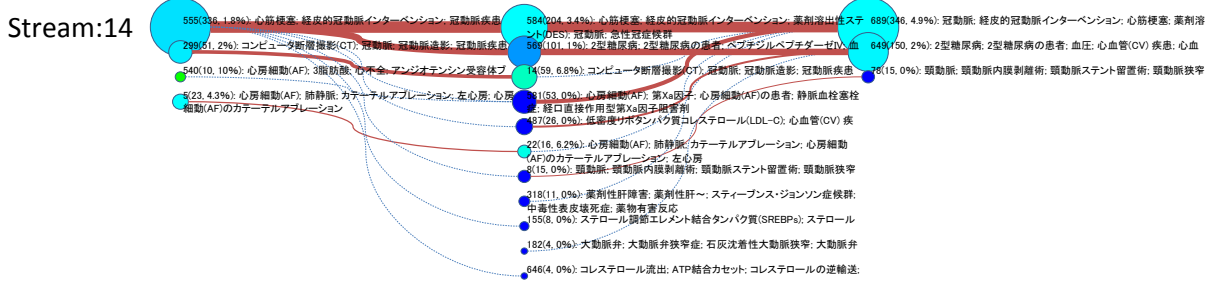
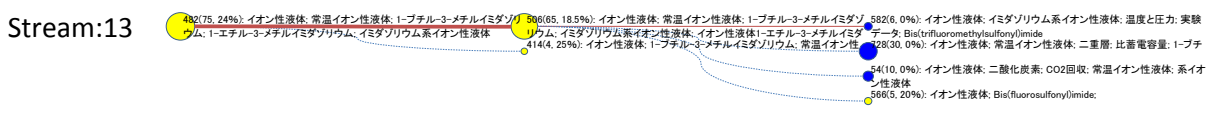
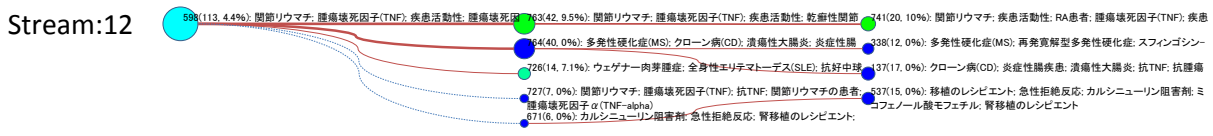
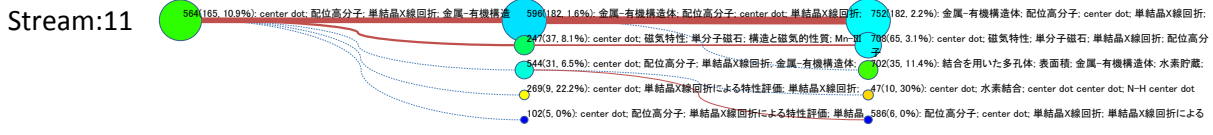
- 本ファイルのデータをそのまま活用する場合は下記のように表示してください。

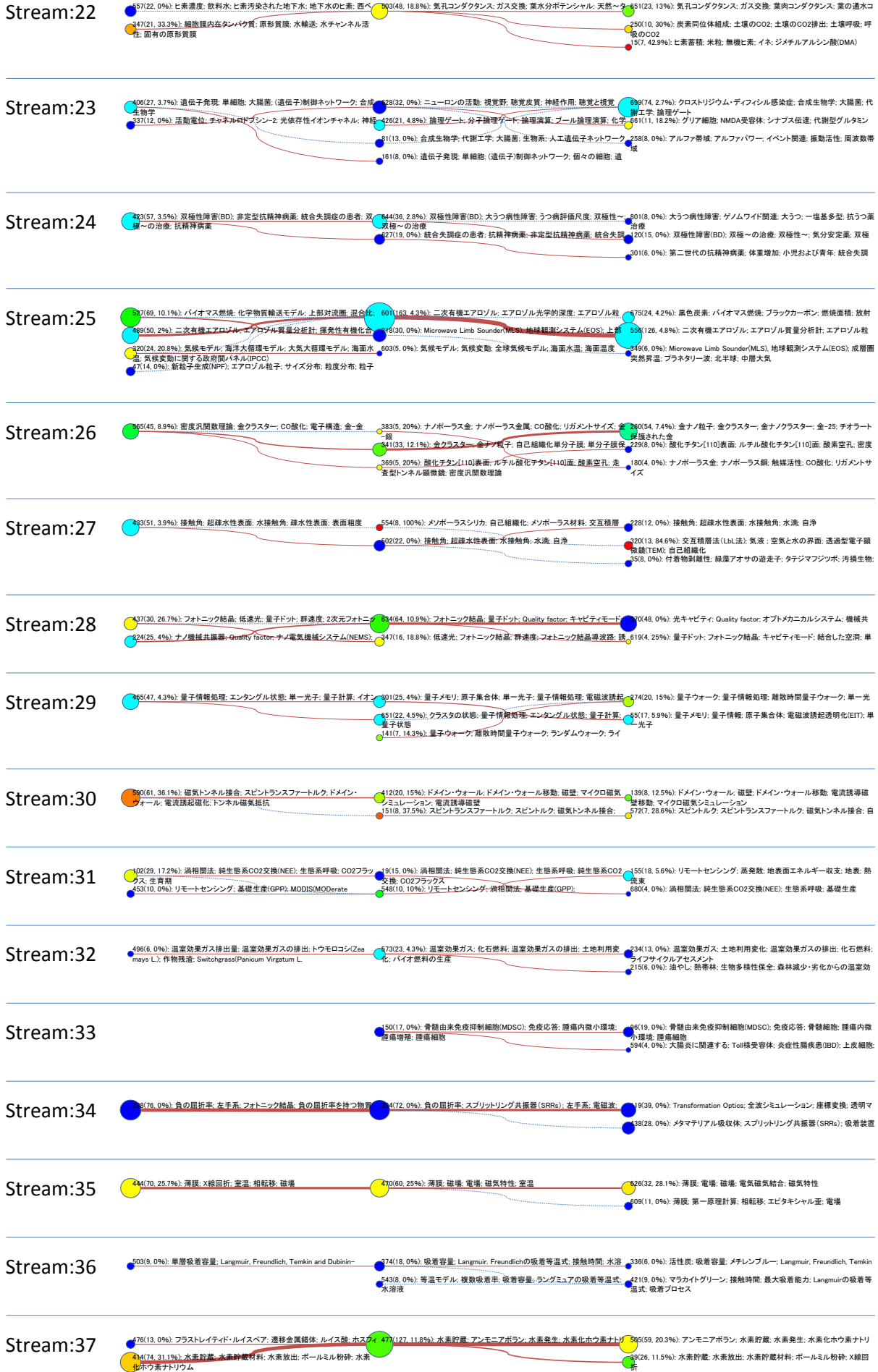
(出典)文部科学省 科学技術・学術政策研究所、サイエンスマップ 2010 & 2012、
NISTEP REPORT No.159、2014 年 7 月

- 本ファイルのデータを加工して活用する場合

本ファイルに掲載しているデータを独自に加工し資料に用いる場合は、下記のように表示をしてください。

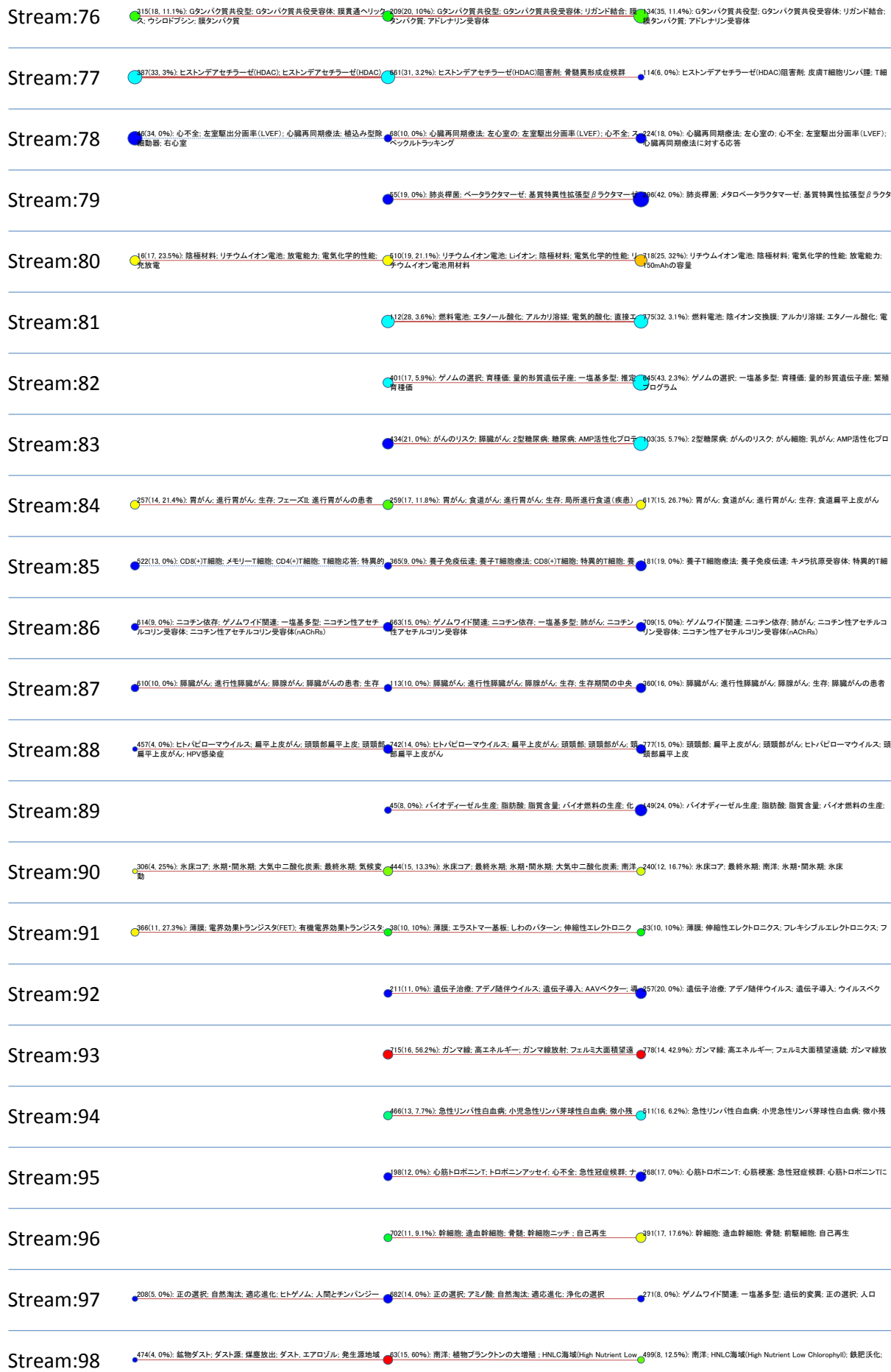
(出典)文部科学省 科学技術・学術政策研究所、サイエンスマップ 2010 & 2012、
NISTEP REPORT No.159、2014 年 7 月を基に、○○○が加工・作成。

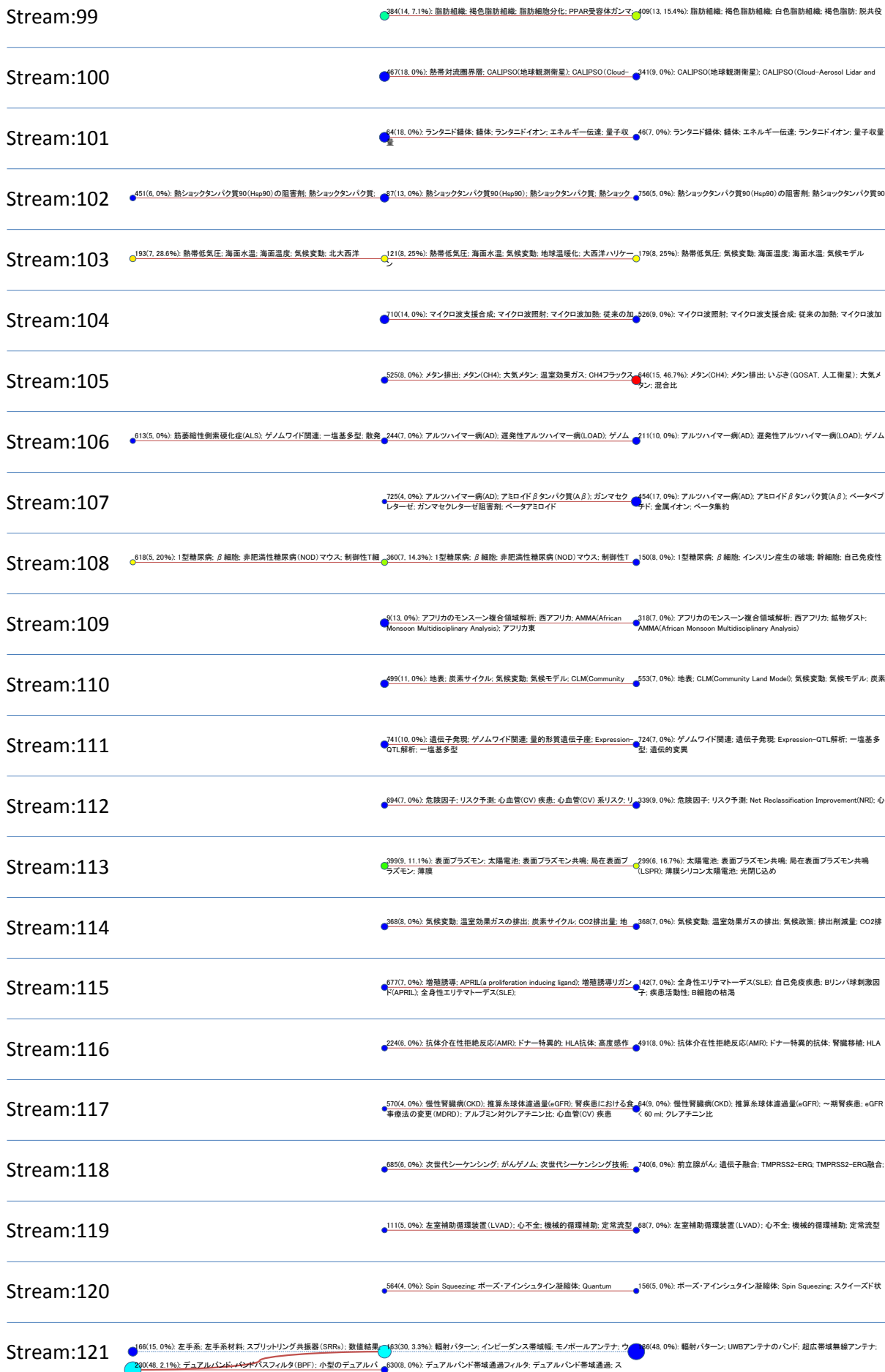










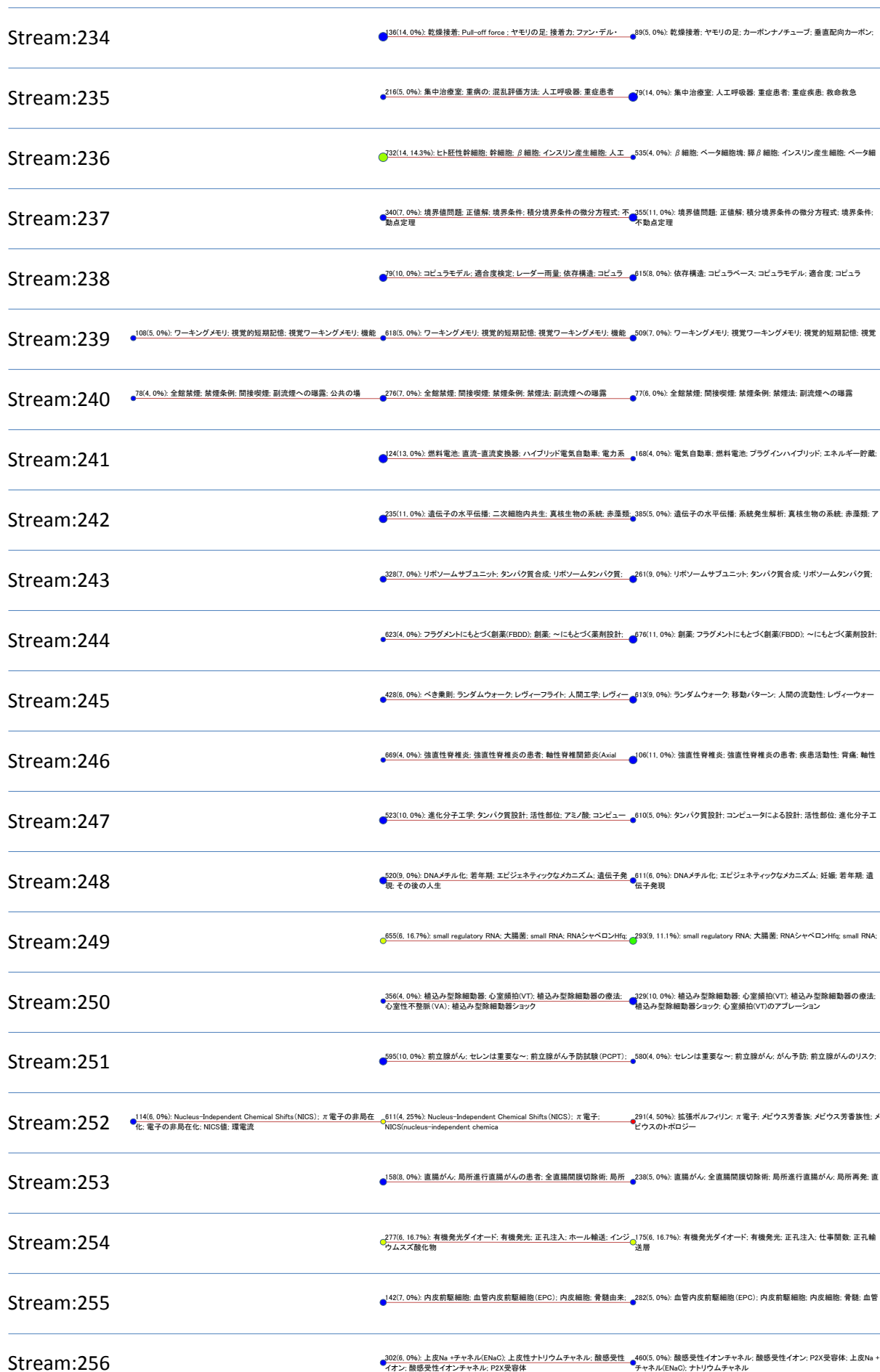




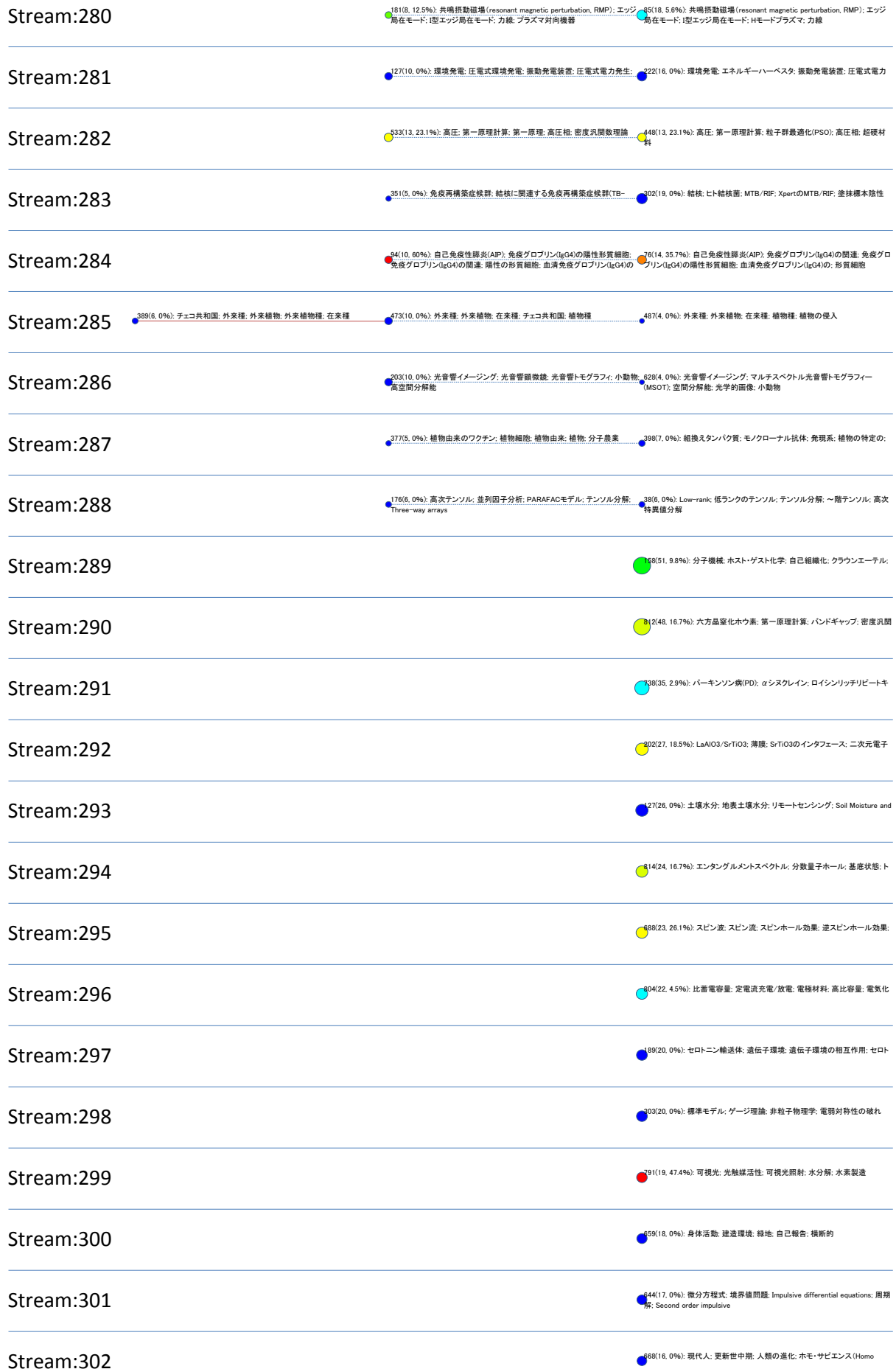












Stream:303	691(16. 12.5%): 海水: 北極海: 北極海水: 表層結氷: 海水面積
Stream:304	380(15. 0%): 生態系サービス: エコ(環境)システムサービスのための支払い
Stream:305	437(15. 0%): グリッド接続: 分散型電源: 制御戦略: シミュレーションと実験結果: 制御方式
Stream:306	748(15. 0%): イオントラップ: 量子シミュレーション: 量子シミュレータ: 量子情報
Stream:307	765(15. 0%): 脐帯血: 脐帯血移植: 幹細胞: 造血幹細胞移植: 移植片対宿主病(GVHD)
Stream:308	600(14. 7.1%): ゲノム配列: 全ゲノム塩基配列: ドラフト・ゲノム配列: 基準株:
Stream:309	297(14. 7.1%): 氷河期: 北大西洋: 木の年輪: 気候変動: 海面水温
Stream:310	778(13. 0%): 気候変動: 土壌有機炭素: 土壌有機物: 有機物: 生育期
Stream:311	444(13. 0%): 種の分布: 種の分布モデルを用いた定量的な手法(SDM): 気候変動: 動的植生モデル: プロセスベース
Stream:312	751(13. 0%): リチウムイオン電池: リチウムイオンのためのアノード材料: リチ
Stream:313	61(12. 0%): 開環重合: RACラクトド: L-ラクチドの重合: 分子量: 開環重合開始剤
Stream:314	733(12. 16.7%): リチウムイオン電池: 陽極材料: 速度性能: 電気化学的性能:
Stream:315	47(11. 0%): 囊胞性線維症(CF): 線菌菌: 囊胞性線維症(CF)の患者: 囊胞性線維症(CF)の豚: 培養に依存しない
Stream:316	469(11. 9.1%): ホジキンリンパ腫: B細胞リンパ腫: 陽電子放出断層撮影
Stream:317	806(11. 0%): 酸化グラフェン: グラフェン酸化物: 酸化グラフェンの還元: グラ
Stream:318	647(10. 0%): 線維芽細胞増殖因子21(FGF21): ベルオキシソーム増殖因子活
Stream:319	713(10. 10%): ブロックポリマー: P3HT(有機分子エレクトロニクス材料): ジブ
Stream:320	735(10. 10%): ベルオキシダーゼ(HRP): 電気化学免疫センサー: 電気化学免
Stream:321	289(10. 0%): 種管束鞘(BS)細胞: 光合成経路: トウモロコシ(Zea mays L.): 葉
Stream:322	532(10. 20%): 制御性T細胞: 臓器移植: 免疫応答: ドナー特異的: 移植のレス
Stream:323	93(9. 22.2%): 細胞死: プログラム細胞死: 植物におけるオートファジー: シロイ
Stream:324	518(9. 0%): miRNA: 遺伝子発現: HIV-1の複製: 感染した細胞: HIV-1感染
Stream:325	8(9. 0%): 気候変動: Thermal tolerance: 地球温暖化: 気候変動への応答:

Stream:326	284(9, 11.1%): スフィンゴシン-1-リン酸(SIP); スフィンゴシン-1-リン酸(SIP) 受容体; スフィンゴシンキナーゼ; Gタンパク質共役型; 生理活性脂質
Stream:327	411(9, 22.2%): エルニーニョ現象; エルニーニョ南方振動; 海面温度; 海面水
Stream:328	461(9, 0.0%): 小分子阻害剤; BETファミリー; BETファミリータンパク質BRD4; タンパク質相互作用(PPi); 遺伝子発現
Stream:329	585(9, 0.0%): 気候変動; 遊走補助; 気候の変動; 気候変動への応答; 樹種
Stream:330	746(9, 11.1%): がん細胞; ワールブルク効果; 好氣的解糖; ビルビン酸キナーゼ; 腫瘍細胞
Stream:331	793(9, 0.0%): 上皮間葉移行; 膵臓がん; 間葉移行; がん細胞; がん幹細胞
Stream:332	828(8, 0.0%): パラジウム触媒; 良好な収率; 触媒反応; 銀トリフラート触媒による反応; 触媒によるタンデム反応
Stream:333	430(8, 0.0%): ナンヨウアブラギリ(Jatropha curcas); バイオディーゼル生産; 酸
Stream:334	540(8, 12.5%): 翻訳後修飾; ヒストンアセチラーゼ(HDAC); リジンアセチル化; タンパク質アセチル化; リジン残基
Stream:335	703(8, 25%): 自己組織化; ホスト-ゲスト化学; center dot; 核磁気共鳴分光法;
Stream:336	790(8, 0.0%): コレステロール流出; miRNA; コレステロール恒常性; 遺伝子発現; 高密度リポタンパク質(HDL)
Stream:337	802(7, 0.0%): miRNA; 遺伝子発現; 非翻訳RNA(ncRNAs); C型肝炎ウイルス;
Stream:338	822(7, 42.9%): レーザーパルス; 磁化ダイナミクス; 磁気光学カー効果; 円偏光レーザー誘起
Stream:339	827(7, 28.6%): 断層帯; サンアンドレアス断層; 断層岩; 断層粘土; 流体圧力
Stream:340	88(7, 0.0%): 光トラッピング; 表面プラズモン; Optical forces; 光ピンセット; 表面プラズモン共鳴
Stream:341	171(7, 0.0%): 気候モデル; 気候変動; 全球気候モデル; 全球気候モデル; 気候
Stream:342	212(7, 0.0%): 脊髄性筋萎縮症(SMA); 運動ニューロン; 生存運動ニューロン(SMNI); 脊髄性筋萎縮症(SMA)タンパク質; アデノ随伴ウイルス
Stream:343	298(7, 0.0%): ドメイン・ウォール; 強誘電体のドメイン壁; 薄膜; 圧電応答顕微鏡;
Stream:344	820(7, 0.0%): 核酸; クリックケミストリー; クリック反応; アジ化アルキン; 構成要
Stream:345	719(7, 0.0%): ひまん性大細胞型B細胞リンパ腫(DLBCL); 大細胞型B細胞リン
Stream:346	723(7, 28.6%): 二酸化炭素の削減; CO2光触媒還元; 可視光; 二酸化炭素; 光
Stream:347	792(7, 0.0%): グラフェン電界効果トランジスタ; グラフェントランジスタ; グラフェ
Stream:348	794(7, 0.0%): リチウムイオン電池; 陽極材料; リチウムイオン電池用材料; リチ

Stream:349	818(7.0%): メソポーラスシリカ、コアシェル、シリカシェル、中空球、ドラッグデリ
Stream:350	378(6.0%): 太陽電池: ハイブリッド太陽電池: 電力変換効率: P3HT(有機分子
Stream:351	384(6.0%): ヒストン修飾: 遺伝子発現: キロシウジョウバエ: 転写因子: ゲ
Stream:352	514(6.0%): ゲノムワイド関連: 一塩基多型: ゲノムワイド関連解析: 複雑な形
Stream:353	596(6.0%): 陸上生態系モデル: 窒素増積: 生態系モデル: 動的な土地生態系 モデル(DLEM)ベースの: 動的な土地生態系モデル(DLEM): 陸上生態系
Stream:354	243(5.60%): プラシノステロイド(BR6)シグナル伝達: プラシノステロイド(BR6):
Stream:355	716(5.20%): 葉の発育: 葉形: 複製: CUG遺伝子: シロイヌナズナ
Stream:356	267(5.0%): シロイヌナズナ: 自然変異: 表現型変異: ゲノムワイド関連: 遺伝
Stream:357	544(5.0%): 三成分反応: 1ポット: 多成分反応: 1ポット: 3成分の合成: 三成分 合成
Stream:358	545(5.0%): 大腸がん: BRAF V600E: MEK阻害剤: BRAF変異: 上皮成長因子
Stream:359	581(5.0%): 前立腺がん: 前立腺特異抗原: 前立腺がんのスクリーニング: 積 極的監視: 低リスクの前立腺
Stream:360	697(5.0%): 統合失調症1(DISC1): ニューレグリン1(NRG1): 統合失調症の遺
Stream:361	736(5.0%): ヘアリーセル白血病(HCL): BRAF V600E: BRAF V600Eの変異: BRAF変異: ヘアリーセル白血病(HCL)変異
Stream:362	747(5.20%): 明細胞: 卵巣がん: 体細胞変異: 卵巣明細胞: クロマチン再構築
Stream:363	760(5.0%): 若年性特発性関節炎: 腫瘍壊死因子(TNF): 若年性特発性関節 炎の小児: 若年性特発性関節炎の患者: 関節リウマチ
Stream:364	819(5.0%): マトリックス支援レーザー脱離イオン化法: グラフェン誘導物: 固
Stream:365	21(4.100%): 内視鏡的粘膜下層剥離術(ESD): 一括切除: 内視鏡的粘膜切 除術: 側方発育型腫瘍: 大腸がん
Stream:366	152(4.0%): 量子系: 定常状態: 開放量子: エンタングル状態: マスター方程式
Stream:367	154(4.0%): 不整脈源性右室心筋症(ARVC): 不整脈源性右室: 不整脈源性右 室心筋症(ARVC)の患者: 心臓突然死: 心室性不整脈(VA)
Stream:368	281(4.0%): 第一原理計算: Graphyneの機械的性質: 二次元炭素同素体: 炭
Stream:369	371(4.25%): mRNAの分解: 翻訳抑制: miRNA媒介遺伝子サイレンシング: 標 的mRNA: 遺伝子発現
Stream:370	376(4.0%): ナトリウム利尿ペプチド: 心不全: B型ナトリウム利尿ペプチド
Stream:371	625(4.25%): アミロイド繊維: アミロイドβ: アルツハイマー病(AD): ベータシー

Stream:372	655(4, 25%): イオン性液体: 系イオン性液体: 1-ブチル-3-メチルイミダゾリウ
Stream:373	666(4, 0%): ピンサー型錯体: ピンサー型配位子: ハラジウム触媒: Pd(III): 含
Stream:374	706(4, 25%): リチウムイオン電池: カソード材料: 放電能力: 高充放電能力: 充
Stream:375	745(4, 50%): 血圧: ゲノムワイド関連: 一塩基多型: 遺伝的変異: 本態性高血
Stream:376	749(4, 0%): DNAメチル化: ゲノムワイド: ハイサルファイトシーケンシング:
Stream:377	759(4, 0%): がん細胞: ヒトのがん: 肺がん: 全ゲノムエキソーム配列決定: が
Stream:378	773(4, 0%): 光格子: ハニカム格子: トポロジカル絶縁体: ディラック・フェルミオ
Stream:379	774(4, 0%): グラフェンナノリボン: 熱伝導: グラフェンの特性: 非平衡グリーン
Stream:380	780(4, 25%): 比蓄電容量: エネルギー貯蔵: エネルギー密度: 比表面積: 電気化学キャパシタ
Stream:381	781(4, 0%): ジロジウム(II): ジアゾ化合物: ロジウム: カルベン挿入: 遷移金属
Stream:382	820(4, 0%): メタノール酸化: 燃料電池: サイクリックボルタンメトリーによる調査: 電極触媒活性: X線回折: 透過型電子顕微鏡
Stream:383	832(54, 0%): 行列方程式: 数値例: 最小二乗: 反復アルゴリズム: パラメータ
Stream:384	877(40, 0%): 腰痛: 鎮痛: 介入性疼痛管理: 硬膜外ステロイド注射: 慢性腰痛
Stream:385	889(35, 0%): 独創性/価値: 実用的な意味合い: 競争優位性: 製造業: ケース
Stream:386	897(35, 2.9%): 自己推進: 自走式粒子: 集団運動: 数学的運動論: 活性粒子
Stream:387	873(29, 44.8%): 平成23年(2011年)東北地方太平洋沖地震: 平成23年(2011
Stream:388	850(26, 0%): 差分方程式: Max-Type Difference Equation: 正値解: 実数: 初
Stream:389	809(25, 4%): 有機ランキンサイクル: 作動流体: 廃熱: 熱源: 廃熱利用
Stream:390	88(24, 12.5%): 合成カンナビノイド: 合成麻薬: リーガルハイ(脱法ドラッグ): JWH-018およびJWH: 質量分析法
Stream:391	881(23, 0%): FPGA(Field-Programmable Gate Array): 実験結果: FPGAペー
Stream:392	162(22, 13.6%): 定常流型の、フローリアクター: 滞留時間: フローキネムトリー: 連続フロー条件
Stream:393	69(21, 0%): 政策移転: 事業改善地区: Policy mobilities: 都市政策: Policy
Stream:394	76(21, 0%): ガウス干渉チャネル: 干渉アライメント: Interference Channel: 多入力多出力(MIMO)インターフェイス: チャネル情報(CSI: Cha

Stream:395	312(21.0%): 実験結果: Structured light; 時系列; 非線形時系列; 長距離依存
Stream:396	172(21.0%): 2009年4月6日ラウクラ地震; 正断層; 本震; 中央アベニン; 地震振動
Stream:397	1(20.0%): 経済成長; 長期; エネルギー消費; エネルギー消費と経済成長; グ
Stream:398	357(20.0%): 貿易の自由化; 企業レベル; 労働市場; 企業の輸出; 会社の異
Stream:399	684(20.0%): 速い応答時間; 接触時間; 吸着容量; 検出限界; 水溶液
Stream:400	63(19.0%): 身体活動; 座って行う行為; 中・高強度の運動(MVPA); 費やした
Stream:401	167(19.0%): 閉ループシステムにおける信号; 非線形システム; 出力フィード
Stream:402	300(19.0%): マシーンスケジューリング問題; ジョブ処理時間; Minimize the
Stream:403	146(17.11.8%): 自己推進; 磁場; 低レイノルズ数; 触媒ナノモーター; 回転磁
Stream:404	264(17.5.9%): 潜熱蓄熱材; 相変換材料(Phase Change Material: PCM); 相変
Stream:405	503(17.70.6%): 包絡分析法(DEA: Data Envelopment Analysis); 望ましくない
Stream:406	677(17.0%): 発光ダイオード(LED); InGaN/GaN; ~にもとづく発光ダイオード;
Stream:407	24(16.0%): マグネシウム合金; 耐食性; 模擬体液; 腐食速度; 腐食挙動
Stream:408	68(16.0%): 土地の収奪; エコ(環境)システムサービスのための支払い(VPES);
Stream:409	247(16.31.2%): 光学的性質; セルロースナノ結晶; ミクロフィブリル化セルロー ス(MFO); ナノレベルで形成されたセルロース; セルロースナノファイバ
Stream:410	385(16.0%): 高速液体クロマトグラフィー; 充填カラム; シェル粒子; ポーラス粒
Stream:411	557(16.0%): 低分子干渉RNA(siRNAs)の輸送; プロタンパク質転換酵素サブ チリン/ケキシン 8(PCSK9); 低分子干渉RNA(siRNAs); 低密度リポタン
Stream:412	13(15.60%): 原子力発電所; セシウム134とセシウム137; 福島第一原子力発
Stream:413	249(15.6.7%): 好中球細胞外トラップ; 自然免疫; NETの形成; 免疫応答; 全身 性エリテマトーデス(SLE)
Stream:414	453(15.6.7%): バンドパスフィルタ(BPF); 伝達帯; デュアルバンド帯域通過
Stream:415	591(15.0%): 中石器時代; 南アフリカ; 現代人; 更新世後記; マラウイ湖
Stream:416	595(15.0%): 拡散テンソル画像(DTI); 白質; 異方性比率(FA); 白質路; 上縦束
Stream:417	353(14.0%): 伝統のないじめ; ネットいじめ; いじめやネットいじめ; 学校の学 生; いじめの形

Stream:418	418(14.0%): 分數次:カオス系:分數次システム:分數次システムの安定性:
Stream:419	423(14.0%): マイクロ流体素子: Lab-on-a-chip(LOC)デバイス: マイクロ流体デバイス: マイクロ流体システム: 表面弾性波
Stream:420	578(14.0%): 三疊紀後期: 大量絶滅: 三疊紀/ジュラ紀境界: 化石記録: 獣脚
Stream:421	599(14.0%): 炭酸脱水酵素(CA): 垂糸酵素炭酸脱水酵素: 炭酸脱水酵素(CA)阻害剤: ヒト炭酸脱水酵素(hCAII): 炭酸脱水酵素(CAII)
Stream:422	348(13.0%): ぜん動流: 長波長: 低レイノルズ数: 長波長: 低レイノルズ数の近
Stream:423	364(13.77%): 共生細菌ボルバキア感染: 共生細菌ボルバキア株: 細胞質不適合性: ネットインマカ(Aedes aegypti): 共生細菌ボルバキアに感染
Stream:424	525(13.0%): 大腸菌の産出: 大腸菌を産生する志賀毒素: 大腸菌O104:H4:
Stream:425	664(13.77%): ポイント・オブ・ケア検査: 低コスト: マイクロ流体デバイス: ベー
Stream:426	795(13.77%): 標準モデル: 新しい物理学: Search for the rare decays B →:
Stream:427	9(12.83%): ビスフェノールA: 内分泌かく乱化学物質: BPA暴露: ビスフェノー
Stream:428	51(12.0%): 有意性検定: 帰無仮説: 心理科学: 帰無仮説の意義: 出版バイア
Stream:429	58(12.0%): 高頻度データ: 微細構造ノイズ: 実現ポラリティティ: マーケット・
Stream:430	324(12.0%): マインドフルネスにもとづく認知療法(MBCT): マインドフルネス概
Stream:431	351(12.167%): Ia型超新星: 光度曲線: コア崩壊: M-サークルドット: 超新星
Stream:432	377(12.417%): ボウル形の: 多環式芳香族炭化水素: カーボンナノチューブ:
Stream:433	403(12.0%): 東太平洋赤道域: 赤道東部: 有光層: 地表水: 生物源シリカ
Stream:434	456(12.83%): 準地衡流渦位方程式: 準地衡渦度方程式: 分数的ラプラシア
Stream:435	506(12.0%): 新生児死亡: 妊産婦死亡: ミレニアム開発目標: 出生: 出生1,000
Stream:436	573(12.0%): オイラー数と多項式: q-Euler数: オイラー多項式: フェルミp進積
Stream:437	84(11.0%): Web of Science: 被引用数: Hirsch index(h-index): インパクトファ
Stream:438	216(11.0%): 一適性受容器電位(TRP): 一適性受容器電位(TRP): 感覚ニュー
Stream:439	294(11.91%): ポラリン凝縮体: 励起子ポラリン: ポース・アインシュタイン
Stream:440	406(11.0%): メラトニンの効果: メラトニンの治療: 酸化ストレス: 結果は、メラト

Stream:441	5(10, 0%): テクングニヤウイルス; ヒトスジシマカ(Aedes albopictus); インド洋;
Stream:442	34(10, 0%): E型肝炎ウイルス; HEV感染; 抗HEV; HEV RNA; 急性肝炎
Stream:443	196(10, 0%): 妊娠初期のスクリーニング; 週の妊娠; 胎児の首のむくみ(NT);
Stream:444	246(10, 0%): 双極性障害(BD); 酸化ストレス; 大うつ病性障害; 脳由来神経栄養因子(BDNF); 酸化およびニトロ化ストレス
Stream:445	252(10, 0%): 活性炭; 単層吸着容量; 活性炭の調製; メレレンブルーを用いた;
Stream:446	480(10, 0%): スピンアイズ; 磁気単極子; 人工スピンアイズ; 磁荷; 基底状態
Stream:447	597(10, 30%): 結晶セルロース; トリコテルマリーゼイ; 植物細胞壁; 酵素加水
Stream:448	530(10, 10%): ファジールベース; 進化的アルゴリズム; 遺伝的アルゴリズム; ファジシステム; データセット
Stream:449	531(10, 0%): 母子感染; 母子感染の防止; HIVに感染した; 抗レトロウイルス療
Stream:450	558(10, 10%): 上部マントル; 岩流面-岩石圏境界; レシーバ関数解析; せん断波速度; キロの深さ
Stream:451	571(10, 0%): alpha(v)/beta(3)-インテグリン; RGDペプチド; インテグリンのター
Stream:452	592(10, 0%): PI3K; 哺乳類ラパマイシン標的タンパク(mTOR);
Stream:453	711(10, 10%): 肺がん; 非小細胞肺がん(NSCLC); 肺腺がん; 細胞がん; 扁平
Stream:454	132(9, 0%): Fictitious Time Integration Method(FTIM); 非線形代数方程式系;
Stream:455	206(9, 0%): 再生可能エネルギー; エネルギーシステム; 電気自動車; 風力; 地
Stream:456	235(9, 0%): ストア作動性カルシウム流入(SOCE); 原形質膜; 小胞体(ER); カ
Stream:457	254(9, 11.1%): 交代制の仕事; 夜勤; 概日リズム; 概日リズム破壊; 夜の光
Stream:458	283(9, 0%): 食物網; サイズ構造; 体の大きさ; 気候変動; コミュニティのサイズ
Stream:459	300(9, 11.1%): 体幹部定位放射線治療(SBRT); 細胞肺がん; I期の非小細胞
Stream:460	309(9, 0%): ソーシャルネットワーキングサイト; 社会ネットワーク; Facebook;
Stream:461	402(9, 0%): 凸体; Isotropic log concave; Isotropic convex body; p重心ボディ; Brunn-Minkowski不等式
Stream:462	413(9, 0%): 卵巣がん; 上皮性卵巣がん; ヒト精巣上体分泌タンパク質(HE4);
Stream:463	445(9, 0%): 脆弱性X症候群; 脆弱X精神遅滞タンパク質(FMRP); 代謝型グルタミン酸受容体; 結節性硬化症様合体; シナプス可塑性

Stream:464	446(9, 0%); 経済地理学; 地域経済成長; 外部知識; 認知的近接性; 不均等発
Stream:465	449(9, 0%); コヒーレントシステム; 順序統計量; 平均余命; ハザード比; コンポネントの寿命
Stream:466	477(9, 88.9%); 活性領域; 動作領域; 活動域; 磁場; 可視光・磁場望遠鏡;
Stream:467	516(9, 22.2%); 圧縮性Navier-Stokes-Poisson方程式; Navier-Stokes-Poisson方程式; 最適な時間減衰; Boltzmann方程式; 大域
Stream:468	534(9, 0%); 学習環境; コンテキスト利用型ユビキタス学習; 学習システム; 学
Stream:469	588(9, 0%); 情動表出の制御; 認知神経科学; 恐怖; 嫌悪; 基本的な感情; 認知プロセス
Stream:470	632(9, 0%); 環境刺激; 参加者は〜を持続する時間を大きく増加させた; 発達
Stream:471	663(9, 0%); 非典型型溶血性尿毒症候群(aHUS); 補完因子H; 代替経路; 補体活性化; 血栓性微小血管症
Stream:472	135(8, 75%); 透過型電子顕微鏡(TEM); 電界放出; 光学的性質; 走査型電子
Stream:473	90(8, 0%); 政治行動; 双子だけのデザイン; 政治学; 政治的嗜好; 行動遺伝学
Stream:474	185(8, 75%); スロースリップ; スロースリップイベント; 沈み込み帯; プレート境
Stream:475	379(8, 12.5%); ゆらぎの定理; エントロピー生成; 定常状態; Total entropy production; 非平衡定常状態
Stream:476	612(8, 0%); 媒介分析; 直接・間接的な影響; 因果推論; 制御された直接効果;
Stream:477	442(8, 12.5%); エボラウイルス; 重度の出血熱; マールブルグウイルス(MARV)とエボラウイルス(EBOV); フィロウィルス感染症; マールブルグウイルス
Stream:478	450(8, 0%); 遺伝的にコードされたカルシウム; 遺伝的にコードされたカルシウ
Stream:479	476(8, 0%); 偶発病変; 研究参加者; 個々の研究結果; インフォームド・コンセ
Stream:480	485(8, 0%); 指数ランダムグラフ; 指数ランダムグラフモデル; ランダムグラフモ
Stream:481	502(8, 0%); タンパク質の構造; タンパク質構造予測; CASP9(国際的なタンパ
Stream:482	675(8, 0%); フレーミング効果; 移民の帰化; 世論; 直接民主主義のキャンペー
Stream:483	710(8, 12.5%); ロジウム触媒による不斉; アリールボロン酸のロジウム触媒不
Stream:484	720(8, 0%); 樹状細胞(DC); 形質細胞様樹状細胞(pDCs); 適応免疫応答; 自
Stream:485	707(7, 0%); 質量分析法; イオン移動度質量; 気相; エレクトロスプレーイオン化
Stream:486	747(7, 0%); デリクレーション; ノンパラメトリックベイズ統計; 混合モデル; マルコフ

Stream:487	112(7.0%): 分子動力学: 液体水: 分子第一原理: 水素結合: 経路積分分子動
Stream:488	123(7.0%): ヘルコバクター-ピロリ: ピロリ菌感染: ヘルコバクター-ピロリ除菌: 3剤併用: 尿素呼吸気試験
Stream:489	182(7.0%): 持続血糖測定(OGM): 1型糖尿病: インスリンポンプ: 血糖: インス
Stream:490	225(7.0%): 密度汎関数理論: ボロンノチューブ: ホウ素クラスター: 第一原理計算: ホウ素シート
Stream:491	236(7.0%): 腹側検査野(VTA): ドーパミンニューロン: 外側手綱: 腹側検査野
Stream:492	237(7.0%): 乳房再建: 無細胞真皮マトリックス: 再建: 組織エキスハンダー: 被膜褥瘡
Stream:493	295(7.28.6%): Space Shift Keying(SSK) Modulation: 空間変調: 多入力多出
Stream:494	327(7.0%): 安定同位体: 安定同位体分析: delta C-13 と delta N-15: delta C-13 values: 食物網
Stream:495	414(7.14.3%): 洗大腸動脈: 重症虚血性: 一次閉存: 閉存率: バルーン血管形
Stream:496	416(7.0%): ループ量子重力理論: Spin foam: Spin foamモデル: スピンネットワーク: BF理論
Stream:497	435(7.0%): 食品価格: 公衆衛生: 砂糖加糖飲料: 健康食品: 食品消費
Stream:498	471(7.0%): 血中のカルジジオール(25-ヒドロキシビタミンD, 25(OH)D): ビタミンDの状態: ビタミンDレベル: ビタミンの欠乏症: 25-ヒドロキシビタミンD(
Stream:499	474(7.28.6%): リゾホスファチジン酸(LPA): リゾホスファチジン酸(LPA)受容体:
Stream:500	483(7.0%): モード分割多重: モードファイバ: マルチモード光ファイバーでの非線形伝搬: 16点直交振幅変調(16-QAM): PM-QPSK(偏波モードQPSK)
Stream:501	700(7.0%): ハーモニー検索アルゴリズム: 最適化問題: メタヒューリスティク
Stream:502	712(7.0%): 染色体の高次構造のキャプチャ(3C): ゲノムワイド: 調節エレメント: 転写因子: クロマチン構成
Stream:503	731(7.14.3%): Toll様受容体: 自然免疫: 免疫応答: 自然免疫系: Toll様受容
Stream:504	17(6.0%): Solar Dynamics Observatory(SDO, 太陽観測衛星): AIA(Atmospheric Imaging Assembly): 活性領域
Stream:505	69(6.0%): 農薬暴露: 有機リン系農薬: 有機りん系農薬: クロルピリホス: 出生
Stream:506	118(6.50%): 経口内視鏡的括約筋切開: 自然開口部経経管腔的内視鏡手術
Stream:507	148(6.33.3%): ミズクラゲ(Aurelia aurita): クラゲの大量発生: 海洋生態系: ゼ
Stream:508	204(6.0%): エネルギー効率: エネルギー消費: 細胞ネットワーク: 基地局: 資
Stream:509	217(6.0%): 抗酸化活性: ラジカル捕捉活性: タンパク質加水分解物: 加水分

Stream:510	226(6, 0%): 縮小基底(RB); 縮小基底(RB)法; 事後減差; オフライン; オンライン
Stream:511	276(6, 0%): ガロア表現; モジュラー形式; ガロア群; 有限フラットモデル; 楕円
Stream:512	280(6, 0%): Low-rank; HSS行列; hierarchically semiseparable(HSS) matrices;
Stream:513	288(6, 0%): 間葉移行; 上皮間葉移行; トランスフォーミング増殖因子(TGF-
Stream:514	290(6, 0%): 前立腺がん; 拡散強調画像(DWI); 核磁気共鳴; ガイド下生検; 経
Stream:515	325(6, 16.7%): 再生医学; 細胞外マトリックス; 幹細胞; 再生医療; 組織工学
Stream:516	340(6, 0%): 変数選択; ベイズ変数選択; ベイズモデル; スケール混合; 回帰係
Stream:517	347(6, 0%): アンサンブルカルマンフィルタ; データ同化; 通水コンダクタンス; 土壌水分; 粒子フィルター
Stream:518	382(6, 0%): 性格特性; 人格障害; パーソナリティの5因子モデル; DSM-IV(精
Stream:519	383(6, 0%): ひずみ速度; 流動応力; 高温圧縮試験; 温度とひずみ速度; 高温 変形挙動
Stream:520	394(6, 0%): 輸血関連急性肺障害(TRALI); 輸血関連急性肺; 輸血関連の罹
Stream:521	405(6, 0%): 一酸化窒素; 生産; 植物; 役割; 硝酸レダクターゼ
Stream:522	417(6, 0%): ヒトパピローマウイルス; HPVワクチン; 子宮頸がん; HPV感染症;
Stream:523	429(6, 0%): 豚繁殖・呼吸障害症候群; 豚繁殖・呼吸障害症候群ウイルス (PRRSV); 豚繁殖・呼吸障害症候群ウイルス; 高病原性豚繁殖・呼吸障害症
Stream:524	440(6, 0%): 不動点; CAT(0) Spaces; 縮小写像; Asymptotic pointwise
Stream:525	457(6, 0%): 内戦; 北コーカサス; 暴力のレベル; 暴力の地理学; 北コーカサス での暴力
Stream:526	459(6, 0%): 定量的構造活性相関(QSAR); QSARモデル; 定量的構造活性相
Stream:527	492(6, 0%): 携帯電話; テキストメッセージ; ショートメッセージサービス(SMS); 携帯電話テキストメッセージ; ランダム化比較試験
Stream:528	493(6, 0%): プラズマシート; 磁場; 太陽風; サブストーム中のイベントとマクロ
Stream:529	496(6, 0%): 乳がん; ボディマス指数; 乳がんのリスク; 肥満は～と関連してい る; がん予防
Stream:530	498(6, 16.7%): 固体酸化物型燃料電池; 固体酸化物燃料電池; 固体酸化物型
Stream:531	504(6, 16.7%): 気候変動; 気候モデル; 地球温暖化; 極値降水量; 酷暑; 熱波
Stream:532	522(6, 0%): 動的因果モデリング(DCM); Effective connectivity analysis; 機能

Stream:533	527(6, 0%); 重大な欠陥; 内部統制; 財務報告に係る内部統制; 内部監査; ア
Stream:534	533(6, 0%); 二重不等式; Power mean of order p; Seiffert Mean; harmonic.
Stream:535	554(6, 16.7%); 単純反復配列(SSR)マーカー; 単純反復配列(SSR); 栽培種
Stream:536	559(6, 16.7%); アミノ酸; 食物L-アルギニン補給; 一酸化窒素; アルギニン補
Stream:537	568(6, 0%); アンテナアレイ; サイドローレベル; 低サイドローレベル; サイ
Stream:538	590(6, 0%); Non-Gaussianity; ゆっくり転がるインフレーション; フィールドイン
Stream:539	603(6, 0%); 分散型電源; 流通網; 配電網; 分散型電源ユニット; DGユニット;
Stream:540	665(6, 0%); 有限要素; ホリマーネットワーク; 膨張が誘導する; 表面融装; 感
Stream:541	41(5, 0%); DC-DCコンバータ; High step; ステップアップDC-DCコンバータ; ス
Stream:542	52(5, 0%); 複合組織同種移植; 顔面移植; 顔面複合組織; 総額; 固形臓器移
Stream:543	100(5, 0%); ワーキングメモリ; ワーキングメモリの訓練; 認知訓練; 実行機能;
Stream:544	108(5, 0%); Shearlet変換; ウェーブレット変換; 連続Shearlet; Shearlet変換に
Stream:545	117(5, 0%); オキシ燃料; 石炭燃焼; オキシ燃料燃焼; 排気ガス; 微粉炭
Stream:546	124(5, 0%); ホリアニン(PANI); アニリンの酸化重合; アンモニアによるアニ
Stream:547	160(5, 0%); 水和物形成; ガス水和物; アンモニウムブロミド; クラスレート水和
Stream:548	166(5, 0%); テントウムシ種; ナメイトウ; 生物的防除; テントウムシ; ギルド内
Stream:549	172(5, 0%); 触媒性能; ゼオライト結晶; ZSM-5ゼオライト; Si/Al 表面積
Stream:550	177(5, 0%); Cayley graphs; SLd(Z) generating a Zariski dense subgroup of
Stream:551	188(5, 20%); 紫外線B波の照射; シロイヌナズナ; 紫外線B波の誘発する; 光
Stream:552	190(5, 0%); HIVに感染した; 抗レトロウイルス療法; HIV感染症の患者; HIV感
Stream:553	192(5, 0%); 植物細胞; 植物病原性のTranscription Activator-Like(TAL)エ
Stream:554	255(5, 0%); 食物アレルギー; アレルゲン特異的免疫療法; 経口免疫療法; 食
Stream:555	275(5, 0%); バンドノッチ; モノポールアンテナ; グランドプレーン; UWBアプリ

Stream:556	283(5, 0%): アルツハイマー病(AD); グルカゴン様ペプチド-1(GLP-1); ベータアミロイド; 認知低下; 2型糖尿病
Stream:557	304(5, 0%): 耐性黄色ブドウ球菌; メチシリン耐性黄色ブドウ球菌 (MRSA); グ
Stream:558	308(5, 0%): 微小脳出血 (CMBs); 脳アミロイド血管症(CAA); 白質; 小血管疾患; 脳内出血(ICH)
Stream:559	310(5, 0%): ドナーアクセプターシクロロパン; ルイス酸触媒; 開環; 活性化し
Stream:560	346(5, 0%): タンパク質酸化; 脂質酸化; MAP包装(ガス充填包装); 高酸素
Stream:561	361(5, 0%): 食糧摂取量; 食品の手がかり; 食品への応答; 食品の報酬; 機能
Stream:562	372(5, 0%): ビタミンD欠乏症; 血中のカルシジオール(25-ヒドロキシビタミンD,
Stream:563	388(5, 0%): 関節リウマチ; RA患者; 関節リウマチの患者; 心血管(CV) 系リス
Stream:564	390(5, 0%): 格子ボルツマン法; 自然対流; レイリー数; 熱伝達; 平均ヌセルト
Stream:565	392(5, 0%): ライフサイクルアセスメント; 生産システム; 温室効果ガス排出量;
Stream:566	427(5, 0%): フォトニック結晶; コロイド結晶; コロイド状フォトニック結晶; 磁場;
Stream:567	451(5, 0%): 聴性脳幹反応; 音楽の訓練; ノイズ認知でのスピーチ; 言語知覚;
Stream:568	464(5, 0%): 二重供給誘導発電機; 風力タービン; 回転子電流; 系統側変換器;
Stream:569	494(5, 0%): 肺炎連鎖球菌; 肺炎球菌結合型ワクチン; ~価肺炎球菌結合型ワクチン; 慢性肺炎球菌感染症 (IPD); 価肺炎球菌結合型ワクチン
Stream:570	512(5, 0%): 心の理論(ToM); 心の理論; 社会的認知; 統合失調症の患者; 健
Stream:571	513(5, 0%): 粒子群最適化(PSO); 最適化問題; 多目的; 群最適化アルゴリズム; 多目的最適化
Stream:572	524(5, 20%): 熱帯熱マラリア原虫; 赤血球浸潤; マラリア原虫; アピコンプレク
Stream:573	547(5, 0%): 乳がん; がん検診; マンモグラフィによる乳がん検診; ~歳の女性乳がんの死亡率
Stream:574	549(5, 0%): アンジオテンシン受容体ブロッカー; アンジオテンシン変換酵素
Stream:575	562(5, 0%): 動学的確率的一般均衡モデル; 景気循環; 金融政策; 小規模開放経済; 金利スムージング
Stream:576	579(5, 0%): ベルの不等式; デバイスに依存しない量子鍵配送; デバイスに依
Stream:577	601(5, 0%): CU特性(反社会性行動を表す児童に特徴的なもの); 非感情的な形質; 障害を行う; 反社会的行動; 精神病的形質
Stream:578	606(5, 0%): マウンテンバインビートル; キクイムシ; ロッジボールバイン; カブト

Stream:579	622(5, 0%): 知識翻訳: インプリメンテーション・リサーチ: エビデンスにもとづくメンタルヘルス: 行政エビデンスにもとづく実践
Stream:580	624(5, 0%): アルコール摂取: 適量の飲酒: アルコール消費量との関連付け:
Stream:581	633(5, 0%): 永久磁石: Flux-switching permanent magnet(FSPM) motors: 有誤要素解析: Flux-switching perma
Stream:582	639(5, 0%): 線形モチーフ: タンパク質相互作用(PP1): 短い線形モチーフ: リン
Stream:583	648(5, 0%): シリコナノワイヤ: 配向シリコナノワイヤ: シリコナノワイヤアレイ: 生細胞: 細胞膜
Stream:584	660(5, 0%): 子ども: 栄養状態: 途上国: 乳児および幼児: 小児保健
Stream:585	671(5, 0%): 乳がん: 乳がん発生率: ホルモン療法: ホルモン補充療法: 女性の健康イニシアチブ
Stream:586	685(5, 0%): 地中海式ダイエット: 地中海式ダイエットの順守: 横断的: 食物頻
Stream:587	696(5, 0%): アマモ(Zostera marina): 海草の草原: 海草藻場: 海草種: 海草
Stream:588	816(5, 0%): 光触媒活性: 可視光: 可視光照射: 高い光触媒活性: UV-vis拡散
Stream:589	62(4, 0%): ヒスタミンH-3レセプター: H-3受容体拮抗薬: 受容体のインバース
Stream:590	68(4, 0%): HIV関連神経認知障害: HIV関連神経認知: HIVに感染した: HIV感
Stream:591	53(4, 0%): 大気汚染: 交通関連の大気汚染: 大気汚染物質: 粒子状物質: 二
Stream:592	62(4, 0%): グルタミン酸受容体: NMDA受容体: イオンチャネル共役型グルタミ
Stream:593	66(4, 0%): アスベルギルス fumigatus: アゾール耐性: フミガーツフ分離株:
Stream:594	94(4, 0%): 経膈栄養法: 静脈栄養: 重病の: 重症患者: 集中治療室
Stream:595	95(4, 0%): Toxin-Antitoxin(TA): Toxin-Antitoxin(TA) システム: 休眠状態の細
Stream:596	110(4, 0%): キラル効果的な場の理論: 3核子: 核子-核子: 核子の相互作用: 2核子
Stream:597	115(4, 0%): 筋タンパク: 抵抗運動: 筋タンパク質の合成: 骨格筋: 筋萎縮
Stream:598	116(4, 0%): アスベルギルス nidulans: 二次代謝: 二次代謝産物: 糸状菌: 性的発育
Stream:599	122(4, 0%): 3臨界点の定理: 3つの解: 3つの解の存在: 境界値問題: 少なくとも
Stream:600	183(4, 0%): 遺伝子環境: 環境相互作用: ゲノムワイド関連: 症例対照: 遺伝的および環境的要因
Stream:601	195(4, 0%): グリホサート耐性: 雑草管理: 雑草種: 除草剤耐性: 雑草防除

Stream:602	● 198(4, 0%): 脳転移: 全脳放射線治療: 脳転移のある患者: 定位放射線治療: 全脳放射線療法
Stream:603	● 213(4, 0%): 溶存有機炭素: 励起-蛍光マトリックス(EEM): 並列因子分析: 蛍
Stream:604	● 218(4, 0%): テキストマイニング: GMLの構成: ウェブの可能性: Chemical Markup Language(CML): コンピュータが理解できる
Stream:605	● 219(4, 0%): 身体活動: 活動的旅行: 通学: 徒歩通学: 走行モード
Stream:606	● 223(4, 0%): アマゾンメカニカルターク: オンライン労働市場: 多様な主題プー ル: Amazonで研究: 行動研究を行って
Stream:607	● 227(4, 0%): 結晶構造: オンゲストロームの分解能: 活性部位: 空間群に属して
Stream:608	● 238(4, 0%): 量子カスケードレーザ: 室温連続発振: しゃい値電流密度: 中赤外 量子カスケード: 室温
Stream:609	● 245(4, 0%): 離散時間高木-菅野フジモデル: 閉ループの: 高木-菅野フ
Stream:610	● 253(4, 0%): 多様性の違い: 分科会: ~人からなるチーム: チームレベル: グ ループの多様性
Stream:611	● 259(4, 0%): 情報理論的アプローチ: モデル選択: 体の大きさ: 行動生態学者
Stream:612	● 265(4, 75%): プロトン伝導度: スルホン化ポリ(アリーレンエーテルスルホン): 燃料電池: プロトン交換膜: 高いプロトン伝導性
Stream:613	● 277(4, 0%): 集光型太陽熱発電(CSP): 2段階水分解: 太陽光熱化学: 熱化学
Stream:614	● 278(4, 0%): 気候変動: 大気汚染: 公衆衛生: 身体活動: コペネフィット
Stream:615	● 279(4, 0%): 動的ネットワーク: 複雑な動的ネットワーク: 射影同期を達成する
Stream:616	● 292(4, 0%): 液体クロマトグラフィータンデム質量分析(LC-MS/MS): LC-
Stream:617	● 307(4, 0%): オープンイノベーション: 中小企業: イノベーションプロセス: 小規
Stream:618	● 313(4, 0%): 衛星細胞: 骨格筋幹細胞: 骨格筋: 幹細胞: 筋肉の再生
Stream:619	● 315(4, 0%): 分子動力学シミュレーション: カーボンナノチューブ: 水分子: 単層
Stream:620	● 316(4, 0%): 原子プローブ断層撮影法(APT): 三次元アトムプローブ: レーザー
Stream:621	● 326(4, 25%): 加齢性黄斑変性症(AMD): 補完因子H: 加齢性黄斑変性症
Stream:622	● 328(4, 0%): 風速: Pan evaporation: 気候変動: Penman-Monteith方程式: 気
Stream:623	● 330(4, 0%): 1型糖尿病: ベータ細胞: エンテロウイルス感染: インスリン産生の 破壊を介して: ウイルス感染
Stream:624	● 332(4, 25%): グルカゴン様ペプチド-1(GLP-1): 味覚受容体: 腸内分泌細胞:

Stream:625	359(4, 0%): スピンロスオーバー、スピン転移: 高スピン、低スピン、スピン状態
Stream:626	382(4, 0%): O熱起因菌(C. burnetii); O熱の大流行; 酪農やギ牧場; オランダ
Stream:627	383(4, 0%): カルシウム/カルモジュリン依存性プロテインキナーゼII; カルモジュリン依存性プロテインキナーゼII; 筋小胞体(SR); リアノジン受容体; 心不
Stream:628	386(4, 0%): 双極性障害(BD); 双極性障害(BD)の患者; 実行機能; 健常対照
Stream:629	387(4, 0%): メチルエステル; 燃料特性; 酸化安定性; 脂肪酸; 動粘性率
Stream:630	375(4, 0%): 患者の安全; 手術室; 手術の安全性のチェックリスト; ヘルスケア;
Stream:631	381(4, 0%): 甲状腺がん; 甲状腺乳頭がん; 分化型甲状腺がん; 甲状腺がんの発生; 甲状腺がんのリスク
Stream:632	387(4, 0%): 制度理論; 企業の社会的責任; コーポレート・ガバナンス; 調整型
Stream:633	396(4, 0%): Soil and Water Assessment Tool(SWAT); SWATモデル; 水質; Nash-Sutcliffe効率係数; 河川流域
Stream:634	397(4, 0%): 双アルギニン転座; 枯草菌; ツインアルギニン転座(Te); 折り畳ま
Stream:635	399(4, 0%): 系統発生解析; 核遺伝子; 分子系統発生学; 鱗翅目; 最尤法
Stream:636	408(4, 0%): インスリン様成長因子(IGF-1); インスリン様成長因子(IGF-1)受容
Stream:637	425(4, 0%): 対流雲; エアロゾル雲; 雲エアロゾル相互作用; 雲エアロゾル相互作用と降水強化; CAIPEEX(Cloud Aerosol Interaction and
Stream:638	433(4, 0%): イオン注入; 平面導波路; 屈折率; 光チャネル導波路; 光導波路
Stream:639	436(4, 0%): 身体活動; 行動変容; ~にもとづく介入; ランダム化比較試験; 身体活動の介入
Stream:640	441(4, 0%): 動脈硬化性の病変; 骨髄; 核内受容体; 髄外産生; 炎症症
Stream:641	443(4, 0%): 末期腎臓病; 慢性腎臓病(CKD); 透析患者; 透析導入; 高齢患者
Stream:642	447(4, 25%): 多剤耐性結核; ヒト結核菌; ミコール酸; 抗結核薬; 薬剤耐性結
Stream:643	452(4, 0%): バーンバウム-サンダース分布; 実際のデータ; 最尤法; サンプリ
Stream:644	466(4, 0%): ミソバチ; 社会性昆虫; 遺伝的多様性; セイウミツバチ(Apis
Stream:645	479(4, 0%): 屈折異常; 近視の進行; 網膜周辺部の相対的な; 周辺屈折; 等価
Stream:646	481(4, 0%): 運動トレーニング; 心不全; 慢性心不全; 有酸素インターバルト
Stream:647	484(4, 0%): エネルギー消費; 消費電力; 光学ネットワーク; エネルギー効率;

Stream:648	588(4, 0%); 流体応答性:一回拍出量の変動(SVV):中心静脈圧:脈圧変動;
Stream:649	508(4, 0%); 量子ドット:フォトニック結晶:単一光子:単一量子ドット:キャビティ
Stream:650	510(4, 0%); 人生の終わり:緩和ケア:ライフケアの終わり:アドバンスケアプランニング:事前指示
Stream:651	528(4, 0%); 労働市場:出生時体重:成人後の影響:低出生体重:JEL I12
Stream:652	538(4, 0%); ネットワークメタ解析:メタ分析:治療の比較:混合治療の比較:ランダム化比較試験
Stream:653	539(4, 0%); 妊娠糖尿病:経口的ブドウ糖負荷試験:妊娠中の女性:不利な妊
Stream:654	541(4, 0%); Institution based view:産業ベースとリソースベース:新興経済国:ストラテジートライポッド:上場大企業
Stream:655	552(4, 25%); 海洋生態系:エコシステムマネジメント:全てを含む生態系モデ
Stream:656	555(4, 0%); 最適化アルゴリズム:Teaching-learning-based optimization:ティーチング・学習にもとづく最適化:最適化問題:粒子群最適
Stream:657	576(4, 0%); 陸上植物:最古の陸上植物:維管束植物:デボン紀前期:系統発
Stream:658	597(4, 0%); 薬物の常用:遅延割引:自己投与:薬物乱用:個人差
Stream:659	600(4, 0%); 治水方程式:有限体積:ダムが決壊:Godunov型スキーム:ソース
Stream:660	604(4, 0%); 脂肪酸:長鎖多価不飽和脂肪酸(LCPUFA):ドコサヘキサエン酸(DHA):リノール酸や α -リノレン酸:リノール酸
Stream:661	612(4, 0%); 層状選択:層状選択実験:コンジョイント分析:患者の意向:属性
Stream:662	614(4, 0%); インド洋:海面温度:海面水温:エルニーニョ現象:アジアの夏季モンスーン
Stream:663	618(4, 0%); 脂肪組織:心外膜脂肪組織:内臓脂肪:コンピュータ断層撮影
Stream:664	620(4, 0%); 細胞壁:細菌性細胞:大腸菌:細胞形状:棒状の細菌
Stream:665	621(4, 0%); I型インターフェロン:全身性エリテマトーデス(SLE)の治療薬:アイ
Stream:666	638(4, 25%); 気候変動:岩礁:体温:Mussel Mytilus:潮間帯生物
Stream:667	643(4, 0%); 伝送断の確率(Outage probability):回線選択:閉形式(Closed-
Stream:668	670(4, 0%); 制御性T細胞:移植片対宿主:移植片対宿主病(GVHD):クリオグ
Stream:669	673(4, 0%); 可逆性後頭葉白質脳症(PRES):可逆性脳血管攣縮症候群
Stream:670	678(4, 0%); Th17細胞:実験的自己免疫性脳脊髄炎:髄液連オープンファン受容

Stream:671

679(4, 0%); メチシリン耐性黄色ブドウ球菌 (MRSA); メチシリン耐性黄色ブド

Stream:672

686(4, 25%); 骨再生; 骨形成; 骨形成タンパク質-2(BMP-2); 再生医学; 骨欠

Stream:673

695(4, 0%); パネルデータ; 空間パネルデータ; パネルデータモデル; 空間的自

Stream:674

717(4, 50%); 膵臓がん; 膵管内乳頭粘液性腫瘍; 囊胞性新生物; 膵囊胞; 膵

Stream:675

743(4, 0%); 銅触媒; H-リン酸化物を用いたN-トシルヒドラゾンのカップリング;